



LEDEN 2024  
STAVEBNĚ-FYZIKÁLNÍ PARAMETRY

# Schöck Isokorb® CXT



Nosné tepelně izolující prvky k efektivní redukci tepelných mostů u předsazených stavebních konstrukcí, jako jsou balkóny, pavlače a atiky.



# Ochrana proti kročejovému zvuku

## Charakteristické hodnoty kročejového zvuku (nová zkušební metoda dle EAD)

### Nová standardizovaná zkušební metoda dle EAD 01 (adopted)

Přestože dle stavebních a soukromoprávních předpisů existují požadavky na kročejovou neprůzvučnost balkónů a pavlačí, nebyla dosud k dispozici žádná konkrétní zkušební norma, která by pomocí vhodného zkušebního a měřicího zařízení stanovila zvukově izolační účinky termicky přerušujících prvků k napojení balkónů.

Od začátku roku 2022 je v revidované verzi 050001-01-0301 (adopted) Evropského dokumentu pro posuzování (EAD) prvků k napojení balkónů poprvé uveden detailní popis standardní zkušební metody pro měření charakteristických hodnot kročejového zvuku u prvků k napojení balkónů. Tato nová zkušební metoda EAD umožňuje poprvé spolehlivě srovnat charakteristické hodnoty kročejového zvuku u produktů různých typů a výrobců. Tyto charakteristické hodnoty slouží zároveň jako zaručené vstupní parametry pro početní odhad ochrany proti kročejovému zvuku u balkónů a pavlačí ve fázi projektové přípravy.

### Výrazné zlepšení nové zkušební metody dle EAD 01 (adopted) oproti předchozí verzi EAD

- Uspokojivá specifikace zkušebního a měřicího zařízení z hlediska stavební akustiky a dalšího početního zpracování naměřených hodnot
- „Tuhé“ referenční měření na stejném zkušebním vzorku (a nikoli na přídatné tuhé zkušební konstrukci jako dříve)
- **Nová charakteristická hodnota kročejového zvuku** pro prvky k napojení balkónů: **vážené snížení hladiny kročejového zvuku  $\Delta L_w$**  (místo doposud používaného váženého rozdílu hladiny kročejového zvuku  $\Delta L_{n,w}$ )
- Použití **metody referenčního stropu dle EN ISO 717-2** pro stanovení váženého snížení hladiny kročejového zvuku  $\Delta L_w$  (dosud se u váženého rozdílu hladiny kročejového zvuku  $\Delta L_{n,w}$  uvažoval pouze rozdíl jednočíselných veličin  $L_{n0,w}$  a  $L_{n,w}$  bez použití metody referenčního stropu)
- Vážené snížení hladiny kročejového zvuku  $\Delta L_w$  prvku k napojení balkónů lze použít (analogicky k váženému snížení hladiny kročejového zvuku u podlahy na stropní konstrukci) jako **vstupní hodnotu pro početní odhad dle DIN 4109-2 a EN ISO 12354-2**.

### Možnost srovnání charakteristických hodnot kročejového zvuku, akustická rovnocennost

Díky detailně popsané zkušební metodě dle nového dokumentu EAD 01 (adopted) lze poprvé spolehlivě porovnat charakteristické hodnoty kročejového zvuku různých prvků k napojení balkónů, a to i od různých výrobců – za předpokladu, že byly tyto charakteristické hodnoty stanoveny v souladu s dokumentem EAD 01 (adopted). Pouze charakteristické hodnoty kročejového zvuku dle EAD 01 (adopted) umožňují totiž získat zaručené informace o rovnocennosti různých prvků k napojení balkónů z hlediska kročejové neprůzvučnosti.

### Charakteristické hodnoty kročejového zvuku při tvorbě nabídek

Aby bylo zajištěno použití prvků k napojení balkónů s charakteristickými hodnotami kročejového zvuku dle nového dokumentu EAD 01 (adopted), je třeba v nabídce jasně uvést, že hodnoty v nabídce musí odpovídat nové metodě dle EAD 01 (adopted), např. užitím následujícího textového modulu:

- „Vážené snížení hladiny kročejového zvuku  $\Delta L_w$  dle EAD 050001-01-0301 (adopted): ... dB“

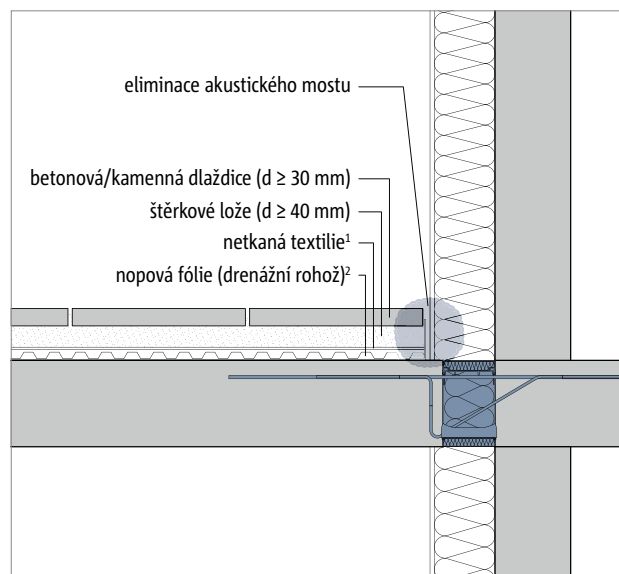
## Charakteristické hodnoty kročejového zvuku u kombinace prvků Schöck Isokorb® s podlahou

### Přídavná podlaha snižující hladinu kročejového zvuku

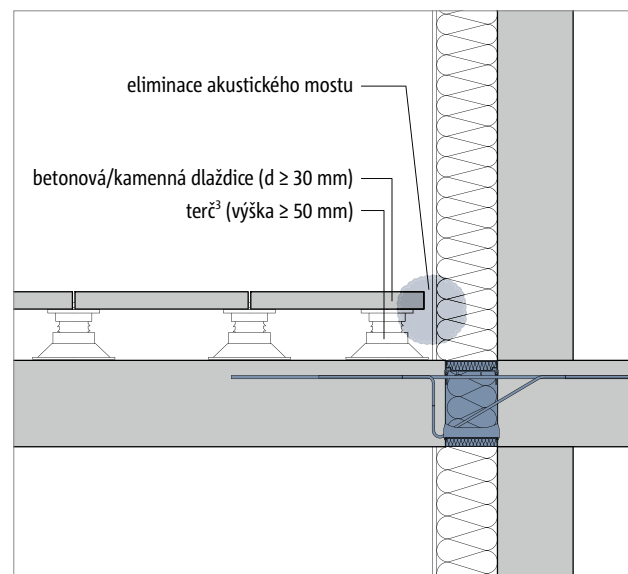
Pokud je ke splnění požadavku na snížení hladiny kročejového zvuku nutná přídavná podlahová krytina na balkóně, lodžii nebo pavlači, lze k hodnotám snížení kročejového zvuku prvku Schöck Isokorb®  $\Delta L_{\text{Isokorb}}$  frekvenčně přičíst hodnoty podlahové krytiny  $\Delta L_{\text{podlaha}}$ . Jednočíselná hodnota váženého snížení kročejového zvuku  $\Delta L_{w,\text{celk}}$  celého systému „Schöck Isokorb® + podlaha“ vyplývá z těchto sečtených hodnot snížení hladiny kročejového zvuku  $\Delta L_{\text{celk}} = \Delta L_{\text{podlaha}} + \Delta L_{\text{Isokorb}}$  použitím metody referenčního stropu dle EN ISO 717-2.

### Balkónové podlahy měřené ve zkušebním zařízení pro podlahy na stropní konstrukci dle EN ISO 10140-1

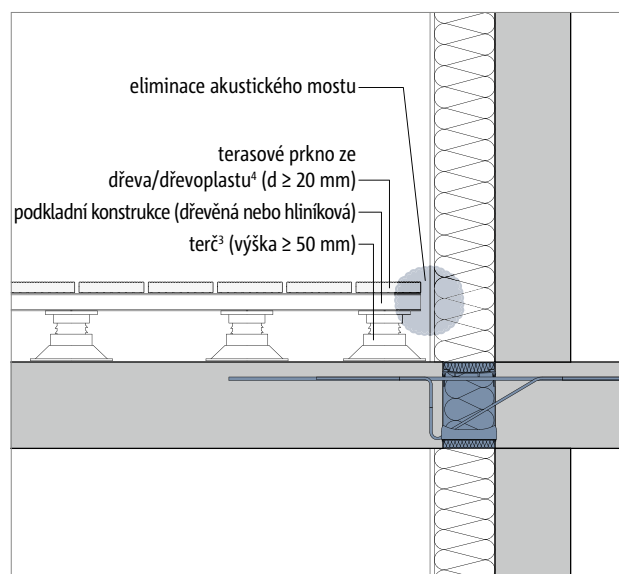
Pro běžné balkónové podlahy (viz následující obrázky) bylo změřeno snížení hladiny kročejového zvuku  $\Delta L_{\text{podlaha}}$  na zkušebním zařízení pro podlahy na stropní konstrukci dle EN ISO 10140-1:2016 („Akustika – Laboratorní měření zvukové izolace stavebních konstrukcí – Část 1: Aplikační pravidla pro určité výrobky“). Takto zjištěné hodnoty (závislé na frekvenci) snížení hladiny kročejového zvuku  $\Delta L_{\text{podlaha}}$  byly frekvenčně sečteny s příslušnými hodnotami snížení hladiny kročejového zvuku  $\Delta L_{\text{Isokorb}}$  podle výše popsané metody, a poté bylo stanoveno vážené snížení hladiny kročejového zvuku  $\Delta L_{w,\text{celk}}$  celého systému Schöck Isokorb® + podlaha.



Obr. 1: Balkónová podlaha s betonovými/kamennými dlaždicemi, štěrkovým ložem, netkanou textilií a nopovou fólií (drenážní rohož)



Obr. 2: Balkónová podlaha s betonovými/kamennými dlaždicemi a terčí



Obr. 3: Balkónová podlaha s terasovými prkny ze dřeva/dřevoplastu, podkladní konstrukce (dřevěná nebo hliníková) a terče

### **i** Informace

- 1) je nutností (štěrk se nesmí dostat do nopů)
- 2) z polyetylenového plastu (výška nopů  $\geq 8 \text{ mm}$ )
- 3) standardní terče z plastu (bez přídavné pružné vrstvy)
- 4) plně nebo dutinové

## Schöck Isokorb® CXT typ KL

CXT typ KL 1.1	M1-V1	M1-V2	M2-V1	M2-V2	M3-V1	M3-V2	M3-VV1	M4-V1	M4-V2	M4-V3	M4-VV1	
H [mm]	skladba	$\Delta L_w$ [dB]										
160–170	žádná	12,5	13,8	12,4	13,3	11,9	13,3	8,9	11,7	12,5	8,7	8,7
	A	19,5	20,8	19,8	20,7	19,8	21,2	16,8	20,2	21,0	17,2	17,2
	B	19,7	21,0	20,0	20,9	20,0	21,4	17,0	20,4	21,2	17,4	17,4
	C	17,4	18,7	17,7	18,6	17,7	19,1	14,7	18,1	18,9	15,1	15,1
180–190	žádná	13,5	14,8	13,4	14,3	12,9	14,3	9,9	12,7	13,5	9,7	9,7
	A	20,5	21,8	20,8	21,7	20,8	22,2	17,8	21,2	22,0	18,2	18,2
	B	20,7	22,0	21,0	21,9	21,0	22,4	18,0	21,4	22,2	18,4	18,4
	C	18,4	19,7	18,7	19,6	18,7	20,1	15,7	19,1	19,9	16,1	16,1
200–210	žádná	13,5	14,8	13,4	14,3	12,9	14,3	9,9	12,7	13,5	10,7	9,7
	A	20,5	21,8	20,8	21,7	20,8	22,2	17,8	21,2	22,0	19,2	18,2
	B	20,7	22,0	21,0	21,9	21,0	22,4	18,0	21,4	22,2	19,4	18,4
	C	18,4	19,7	18,7	19,6	18,7	20,1	15,7	19,1	19,9	17,1	16,1
220–230	žádná	14,5	15,3	14,4	14,8	13,9	14,8	10,9	13,7	14,0	11,7	10,7
	A	21,5	22,3	21,8	22,2	21,8	22,7	18,8	22,2	22,5	20,2	19,2
	B	21,7	22,5	22,0	22,4	22,0	22,9	19,0	22,4	22,7	20,4	19,4
	C	19,4	20,2	19,7	20,1	19,7	20,6	16,7	20,1	20,4	18,1	17,1
240–250	žádná	14,5	15,8	14,5	15,3	14,4	15,3	11,4	14,2	14,5	12,2	11,2
	A	21,5	22,8	21,9	22,7	22,3	23,2	19,3	22,7	23,0	20,7	19,7
	B	21,7	23,0	22,1	22,9	22,5	23,4	19,5	22,9	23,2	20,9	19,9
	C	19,4	20,7	19,8	20,6	20,2	21,1	17,2	20,6	20,9	18,6	17,6

- $\Delta L_w$  vážené snížení hladiny kročejového zvuku dle zkušební metody v novém dokumentu EAD 01 (adopted)
- Podlahová skladba A: betonové/kamenné dlaždice, štěrkové lože, netkaná textilie a nopová fólie (drenážní rohož)  
Podlahová skladba B: betonové/kamenné dlaždice a terče  
Podlahová skladba C: terasová prkna ze dřeva/dřevoplastu, podkladní konstrukce (dřevěná nebo hliníková) a terče

### **I** Barevně vyznačené hodnoty

Tyto hodnoty byly naměřeny metodou dle EAD 01 (adopted version). Všechny ostatní hodnoty byly vypočteny Metodou konečných prvků 3D na virtuálním zkušebním vzorku, kterou vyvinula vysoká technická škola HFT Stuttgart v souladu se zkušební metodou dle EAD 01 (adopted version).

## Schöck Isokorb® CXT typ KL

CXT typ KL 1.1	M5-V1	M5-V2	M5-V3	M5-VV1	M6-V1	M6-V2	M6-V3	M6-VV1	M7-V1	M7-V2	M7-VV1	
H [mm]	skladba	$\Delta L_w$ [dB]										
160–170	žádná	11,4	11,6	8,4	8,4	10,9	10,5	7,9	7,9	9,2	10,0	6,2
	A	21,6	21,8	18,6	18,6	21,4	21,0	18,4	18,4	20,2	21,0	17,2
	B	20,9	21,1	17,9	17,9	21,0	20,6	18,0	18,0	20,0	20,8	17,0
	C	19,4	19,6	16,4	16,4	19,2	18,8	16,2	16,2	17,8	18,6	14,8
180–190	žádná	12,4	12,6	9,4	9,4	11,9	11,5	8,9	8,9	10,2	11,0	7,2
	A	22,6	22,8	19,6	19,6	22,4	22,0	19,4	19,4	21,2	22,0	18,2
	B	21,9	22,1	18,9	18,9	22,0	21,6	19,0	19,0	21,0	21,8	18,0
	C	20,4	20,6	17,4	17,4	20,2	19,8	17,2	17,2	18,8	19,6	15,8
200–210	žádná	12,4	12,6	10,4	9,4	11,9	11,5	9,9	8,9	10,2	11,0	7,2
	A	22,6	22,8	20,6	19,6	22,4	22,0	20,4	19,4	21,2	22,0	18,2
	B	21,9	22,1	19,9	18,9	22,0	21,6	20,0	19,0	21,0	21,8	18,0
	C	20,4	20,6	18,4	17,4	20,2	19,8	18,2	17,2	18,8	19,6	15,8
220–230	žádná	13,4	13,1	11,4	10,4	12,9	12,0	10,9	9,9	11,2	11,5	8,2
	A	23,6	23,3	21,6	20,6	23,4	22,5	21,4	20,4	22,2	22,5	19,2
	B	22,9	22,6	20,9	19,9	23,0	22,1	21,0	20,0	22,0	22,3	19,0
	C	21,4	21,1	19,4	18,4	21,2	20,3	19,2	18,2	19,8	20,1	16,8
240–250	žádná	13,9	13,6	11,9	10,9	13,4	12,5	11,4	10,4	11,7	12,0	8,7
	A	24,1	23,8	22,1	21,1	23,9	23,0	21,9	20,9	22,7	23,0	19,7
	B	23,4	23,1	21,4	20,4	23,5	22,6	21,5	20,5	22,5	22,8	19,5
	C	21,9	21,6	19,9	18,9	21,7	20,8	19,7	18,7	20,3	20,6	17,3

- $\Delta L_w$  vážené snížení hladiny kročejového zvuku dle zkušební metody v novém dokumentu EAD 01 (adopted)
- Podlahová skladba A: betonové/kamenné dlaždice, štěrkové lože, netkaná textilie a nopová fólie (drenážní rohož)  
Podlahová skladba B: betonové/kamenné dlaždice a terče  
Podlahová skladba C: terasová prkna ze dřeva/dřevoplastu, podkladní konstrukce (dřevěná nebo hliníková) a terče

### **I** Barevně vyznačené hodnoty

Tyto hodnoty byly naměřeny metodou dle EAD 01 (adopted version). Všechny ostatní hodnoty byly vypočteny Metodou konečných prvků 3D na virtuálním zkušebním vzorku, kterou vyvinula vysoká technická škola HfT Stuttgart v souladu se zkušební metodou dle EAD 01 (adopted version).

## Schöck Isokorb® CXT typ KL

CXT typ KL 1.1		M8-V1	M8-V2	M9-V1	M9-V2
H [mm]	skladba	$\Delta L_w$ [dB]			
160–170	žádná	8,4	9,0	7,3	8,5
	A	19,9	20,5	19,2	20,4
	B	19,6	20,2	18,7	19,9
	C	17,5	18,1	16,8	18,0
180–190	žádná	9,4	10,0	8,3	9,5
	A	20,9	21,5	20,2	21,4
	B	20,6	21,2	19,7	20,9
	C	18,5	19,1	17,8	19,0
200–210	žádná	9,4	10,0	8,3	9,5
	A	20,9	21,5	20,2	21,4
	B	20,6	21,2	19,7	20,9
	C	18,5	19,1	17,8	19,0
220–230	žádná	10,4	10,5	9,3	10,0
	A	21,9	22,0	21,2	21,9
	B	21,6	21,7	20,7	21,4
	C	19,5	19,6	18,8	19,5
240–250	žádná	10,9	11,0	9,8	10,5
	A	22,4	22,5	21,7	22,4
	B	22,1	22,2	21,2	21,9
	C	20,0	20,1	19,3	20,0

- $\Delta L_w$  vážené snížení hladiny kročejového zvuku dle zkušební metody v novém dokumentu EAD 01 (adopted)
- Podlahová skladba A: betonové/kamenné dlaždice, štěrkové lože, netkaná textilie a nopová fólie (drenážní rohož)  
Podlahová skladba B: betonové/kamenné dlaždice a terče  
Podlahová skladba C: terasová prkna ze dřeva/dřevoplastu, podkladní konstrukce (dřevěná nebo hliníková) a terče

### **I** Barevně vyznačené hodnoty

Tyto hodnoty byly naměřeny metodou dle EAD 01 (adopted version). Všechny ostatní hodnoty byly vypočteny Metodou konečných prvků 3D na virtuálním zkušebním vzorku, kterou vyvinula vysoká technická škola HFT Stuttgart v souladu se zkušební metodou dle EAD 01 (adopted version).



# Tepelná ochrana

## Schöck Isokorb® CXT typ KL

CXT typ KL 1.1	M1-V1		M1-V2		M2-V1		M2-V2		M3-V1	
	H [mm]	R <sub>eq</sub>	λ <sub>eq</sub>	R <sub>eq</sub>	λ <sub>eq</sub>	R <sub>eq</sub>	λ <sub>eq</sub>	R <sub>eq</sub>	λ <sub>eq</sub>	R <sub>eq</sub>
160	1,429	0,084	1,319	0,091	1,319	0,091	1,224	0,098	1,154	0,104
170	1,481	0,081	1,379	0,087	1,379	0,087	1,277	0,094	1,212	0,099
180	1,519	0,079	1,429	0,084	1,429	0,084	1,333	0,090	1,263	0,095
190	1,579	0,076	1,481	0,081	1,481	0,081	1,379	0,087	1,304	0,092
200	1,622	0,074	1,500	0,080	1,519	0,079	1,429	0,084	1,348	0,089
210	1,667	0,072	1,558	0,077	1,558	0,077	1,481	0,081	1,395	0,086
220	1,714	0,070	1,600	0,075	1,600	0,075	1,500	0,080	1,446	0,083
230	1,765	0,068	1,644	0,073	1,644	0,073	1,538	0,078	1,481	0,081
240	1,791	0,067	1,690	0,071	1,690	0,071	1,579	0,076	1,500	0,080
250	1,846	0,065	1,714	0,070	1,739	0,069	1,622	0,074	1,538	0,078

CXT typ KL 1.1	M3-V2		M3-VV1		M4-V1		M4-V2		M4-V3	
	H [mm]	R <sub>eq</sub>	λ <sub>eq</sub>	R <sub>eq</sub>	λ <sub>eq</sub>	R <sub>eq</sub>	λ <sub>eq</sub>	R <sub>eq</sub>	λ <sub>eq</sub>	R <sub>eq</sub>
160	1,053	0,114	0,816	0,147	1,071	0,112	1,000	0,120	0,816	0,147
170	1,091	0,110	0,851	0,141	1,121	0,107	1,053	0,114	0,851	0,141
180	1,143	0,105	0,889	0,135	1,165	0,103	1,081	0,111	0,889	0,135
190	1,188	0,101	0,930	0,129	1,212	0,099	1,132	0,106	0,930	0,129
200	1,224	0,098	0,968	0,124	1,263	0,095	1,165	0,103	0,968	0,124
210	1,277	0,094	1,008	0,119	1,304	0,092	1,212	0,099	1,008	0,119
220	1,319	0,091	1,043	0,115	1,348	0,089	1,250	0,096	1,043	0,115
230	1,348	0,089	1,071	0,112	1,379	0,087	1,290	0,093	1,071	0,112
240	1,395	0,086	1,101	0,109	1,429	0,084	1,333	0,090	1,101	0,109
250	1,429	0,084	1,132	0,106	1,463	0,082	1,364	0,088	1,132	0,106

CXT typ KL 1.1	M4-VV1		M5-V1		M5-V2		M5-V3		M5-VV1	
	H [mm]	R <sub>eq</sub>	λ <sub>eq</sub>	R <sub>eq</sub>	λ <sub>eq</sub>	R <sub>eq</sub>	λ <sub>eq</sub>	R <sub>eq</sub>	λ <sub>eq</sub>	R <sub>eq</sub>
160	0,811	0,148	1,000	0,120	0,930	0,129	0,682	0,176	0,678	0,177
170	0,845	0,142	1,043	0,115	0,976	0,123	0,714	0,168	0,714	0,168
180	0,889	0,135	1,081	0,111	1,017	0,118	0,750	0,160	0,750	0,160
190	0,923	0,130	1,132	0,106	1,062	0,113	0,784	0,153	0,784	0,153
200	0,960	0,125	1,165	0,103	1,091	0,110	0,822	0,146	0,816	0,147
210	1,000	0,120	1,212	0,099	1,132	0,106	0,845	0,142	0,845	0,142
220	1,034	0,116	1,250	0,096	1,176	0,102	0,876	0,137	0,876	0,137
230	1,062	0,113	1,290	0,093	1,212	0,099	0,909	0,132	0,909	0,132
240	1,091	0,110	1,333	0,090	1,250	0,096	0,938	0,128	0,938	0,128
250	1,132	0,106	1,364	0,088	1,277	0,094	0,968	0,124	0,968	0,124

- R<sub>eq</sub> ekvivalentní tepelný odpor v m<sup>2</sup>·K/W
- λ<sub>eq</sub> ekvivalentní tepelná vodivost ve W/(m·K)
- Hodnoty byly stanoveny dle EAD (European Assessment Document): EAD 050001-00-0301 (2018/C 090/04)

## Schöck Isokorb® CXT typ KL

CXT typ KL 1.1	M6-V1		M6-V2		M6-V3		M6-VV1		M7-V1	
	$R_{eq}$	$\lambda_{eq}$	$R_{eq}$	$\lambda_{eq}$	$R_{eq}$	$\lambda_{eq}$	$R_{eq}$	$\lambda_{eq}$	$R_{eq}$	$\lambda_{eq}$
160	0,938	0,128	0,876	0,137	0,656	0,183	0,652	0,184	0,706	0,170
170	0,984	0,122	0,923	0,130	0,686	0,175	0,682	0,176	0,741	0,162
180	1,026	0,117	0,960	0,125	0,719	0,167	0,714	0,168	0,779	0,154
190	1,062	0,113	1,000	0,120	0,755	0,159	0,750	0,160	0,816	0,147
200	1,101	0,109	1,043	0,115	0,784	0,153	0,779	0,154	0,845	0,142
210	1,143	0,105	1,071	0,112	0,816	0,147	0,811	0,148	0,876	0,137
220	1,176	0,102	1,111	0,108	0,845	0,142	0,839	0,143	0,909	0,132
230	1,212	0,099	1,143	0,105	0,876	0,137	0,870	0,138	0,945	0,127
240	1,250	0,096	1,176	0,102	0,902	0,133	0,902	0,133	0,976	0,123
250	1,290	0,093	1,212	0,099	0,930	0,129	0,930	0,129	1,008	0,119

CXT typ KL 1.1	M7-V2		M7-VV1		M8-V1		M8-V2		M9-V1		M9-V2	
	$R_{eq}$	$\lambda_{eq}$	$R_{eq}$	$\lambda_{eq}$	$R_{eq}$	$\lambda_{eq}$	$R_{eq}$	$\lambda_{eq}$	$R_{eq}$	$\lambda_{eq}$	$R_{eq}$	$\lambda_{eq}$
160	0,674	0,178	0,645	0,186	0,663	0,181	0,635	0,189	0,569	0,211	0,558	0,215
170	0,710	0,169	0,674	0,178	0,694	0,173	0,667	0,180	0,597	0,201	0,585	0,205
180	0,745	0,161	0,710	0,169	0,727	0,165	0,698	0,172	0,625	0,192	0,615	0,195
190	0,779	0,154	0,741	0,162	0,759	0,158	0,732	0,164	0,656	0,183	0,645	0,186
200	0,811	0,148	0,774	0,155	0,795	0,151	0,759	0,158	0,682	0,176	0,674	0,178
210	0,839	0,143	0,805	0,149	0,822	0,146	0,795	0,151	0,710	0,169	0,698	0,172
220	0,870	0,138	0,833	0,144	0,851	0,141	0,822	0,146	0,741	0,162	0,727	0,165
230	0,902	0,133	0,863	0,139	0,882	0,136	0,845	0,142	0,764	0,157	0,755	0,159
240	0,930	0,129	0,889	0,135	0,916	0,131	0,876	0,137	0,795	0,151	0,779	0,154
250	0,960	0,125	0,923	0,130	0,945	0,127	0,909	0,132	0,822	0,146	0,805	0,149

- $R_{eq}$  ekvivalentní tepelný odpor v  $m^2 \cdot K/W$
- $\lambda_{eq}$  ekvivalentní tepelná vodivost ve  $W/(m \cdot K)$
- Hodnoty byly stanoveny dle EAD (European Assessment Document): EAD 050001-00-0301 (2018/C 090/04)

## Schöck Isokorb® CXT typ AP

CXT typ AP 1.0 B [mm]	MM1-VV1		Part Z	
	$R_{eq}$	$\lambda_{eq}$	$R_{eq}$	$\lambda_{eq}$
150	0,620	0,193	1,462	0,082
160	0,654	0,184	1,521	0,079
170	0,688	0,174	1,576	0,076
180	0,721	0,166	1,629	0,074
190	0,754	0,159	1,680	0,071
200	0,786	0,153	1,728	0,069
210	0,817	0,147	1,774	0,068
220	0,848	0,141	1,818	0,066
230	0,878	0,137	1,859	0,065
240	0,908	0,132	1,900	0,063
250	0,937	0,128	1,938	0,062
260	0,965	0,124	1,975	0,061
270	0,993	0,121	2,011	0,060
280	1,020	0,118	2,045	0,059

- $R_{eq}$  ekvivalentní tepelný odpor v  $m^2 \cdot K/W$
- $\lambda_{eq}$  ekvivalentní tepelná vodivost ve  $W/(m \cdot K)$
- Hodnoty byly stanoveny dle EAD (European Assessment Document): EAD 050001-00-0301 (2018/C 090/04)

**Impresum**

Vydal: Schöck-Wittek s.r.o.  
Veslavínova 8  
746 01 Opava  
Telefon: 553 788 308

**Copyright:**

© 2024, Schöck Bauteile GmbH

Obsah této tiskoviny ani jejích částí nesmí být bez písemného povolení společnosti Schöck Bauteile GmbH předán třetím osobám. Všechny technické údaje, zobrazení apod. podléhají zákonu o ochraně autorských práv.

Technické změny vyhrazeny.

Datum vydání: Leden 2024



Schöck-Wittek s.r.o.  
Veslavínova 8  
746 01 Opava  
Telefon: 553 788 308  
Fax: 553 788 308  
wittek@wittek.cz  
www.schoeck.com